

การประเมินสภาพสะพานคอนกรีตของกรมทางหลวงในเขตเศรษฐกิจ EEC

Assessment of Concrete Bridge Conditions of the Department of Highways in the Eastern Economic Corridor (EEC)

พศิน บัวบาน มัจฉิวัช บุญมา และ วิทิต ปานสุข

ภาควิชาภิสัจ្រមនុយនា គណៈវិសាករមសាស្ត្រ ទីផាច់ក្រោមអាជីវិតនាយកដ្ឋាន

บทคัดย่อ

งานวิจัยนี้มีวัตถุประสงค์เพื่อประเมินสภาพสะพานคอนกรีตของกรมทางหลวงในเขตเศรษฐกิจ EEC ซึ่งเป็นพื้นที่เศรษฐกิจที่สำคัญของประเทศไทยที่เพิ่งกลับปัจจัยเสี่ยงที่ทำให้เกิดการเสื่อมสภาพของโครงสร้าง เช่น การเกิดการบ่อนชั้นและการกัดกร่อนของเหล็กเสริม ซึ่งส่งผลกระทบต่อกำลังรับแรงและอายุการใช้งานของโครงสร้าง เพื่อทำการวิเคราะห์สภาพสะพานโดยการตรวจสอบการเกิดคราบบ่อนชั้นและการกัดกร่อนของเหล็กเสริมโดยใช้สมการทางคณิตศาสตร์ที่เกี่ยวข้องมาวิเคราะห์ผลกระบวนการรักษา โดยงานวิจัยนี้ได้รวมรวมข้อมูลจากสำนักสะพานกรมทางหลวง โดยรวบรวมข้อมูลชนิดสะพาน อายุสะพาน จำนวนสะพาน และความยาวสะพานหลังจากการรวบรวมข้อมูล ได้นำข้อมูลที่เกี่ยวข้องมาวิเคราะห์ การเสื่อมสภาพของสะพาน ตามสูตรทางวิศวกรรมที่เกี่ยวข้อง โดยนำมาใช้เพื่อคำนวณผลตัวแปรของโครงสร้างและคาดการณ์แนวโน้มการเสื่อมสภาพ โดยใช้ค่าดัชนีในการประเมินสภาพคอนกรีต คือ Margin ratio for safety, Margin ratio for durability และ Deviation ratio จากนั้นนำผลการวิเคราะห์ที่ได้จากการใช้สมการทางคณิตศาสตร์เบรี่ยบเทียบกับตัวอย่างผลการทดสอบจริงและหาค่าปรับแก้เพื่อให้ค่าที่ได้จากผลการวิเคราะห์มีความถูกต้อง ใกล้เคียงความเป็นจริงมากที่สุดสุดท้ายเก็บรวบรวมข้อมูลโครงสร้างสะพานที่ได้จากการเก็บข้อมูล และวิเคราะห์ผล เพื่อสร้างฐานข้อมูลและวิเคราะห์ผลกระทบจากปัจจัยต่างๆ โดยข้อมูลและผลงานวิจัยที่ได้จากการวิเคราะห์สามารถนำไปใช้เป็นแนวทางการพัฒนาแนวทางป้องกันการเสื่อมสภาพของสะพานคอนกรีตได้อย่างมีประสิทธิภาพ การบำรุงรักษา การเสริมกำลังสะพานให้มีความปลอดภัยและยืดอายุการใช้งานในระยะยาว

คำสำคัญ: สะพานคองกรีต, ดาวน์คอมเนชัน, การถอดกร่อนเหล็กเสริม

Abstract

This research aims to assess the condition of concrete bridges under the Department of Highways in the EEC economic zone, a vital economic area of Thailand facing deterioration risk factors such as carbonation and reinforcement corrosion, affecting the load-bearing capacity and service life of the structures. The bridge condition is analyzed by examining carbonation and reinforcement corrosion, using relevant mathematical equations to analyze the results of the study process. This research collects data from the Bureau of Bridge Department of Highways, including bridge type, bridge age, number of bridges, and bridge length. After data collection, the relevant information is analyzed for bridge deterioration using related engineering formulas, which are used to calculate the structural behavior and predict deterioration trends. Indices are used to assess the concrete condition: Margin ratio for safety, Margin ratio for durability, and Deviation ratio. The results obtained from the mathematical equation analysis are compared with actual test results, and correction factors are applied to ensure the analyzed values are accurate and as close to reality as possible. Finally, bridge structure data collected and analyzed is gathered to create a database and analyze the impact of various factors. The data and research results obtained from the analysis can be used as guidelines for developing effective prevention of concrete bridge deterioration, maintenance, and bridge strengthening to ensure safety and extend service life in the long term.

Keywords: Concrete Bridge, Carbonation, Reinforcement Corrosion

1 บทนำ

เขตพัฒนาพิเศษภาคตะวันออก (Eastern Economic Corridor: EEC) มีบทบาทสำคัญในการขับเคลื่อนการเติบโตทางเศรษฐกิจของประเทศไทย โดยเฉพาะในเรื่องของการส่งออก ดังนั้น การประเมินสภาพโครงสร้างพื้นฐานและการบำรุงรักษา เช่น สะพาน จึงเป็นสิ่งจำเป็นอย่างยิ่ง เพื่อให้โครงสร้างมีความปลอดภัยต่อการใช้งาน และสามารถยืดอายุการใช้งานได้อย่างมีประสิทธิภาพ

สภาพแวดล้อมในเขต EEC ที่มีความชื้นสัมพัทธ์สูงและปริมาณก๊าซคาร์บอนไดออกไซด์สูง ซึ่งจะทำให้กระบวนการคาร์บอนเนชันเกิดขึ้นอย่างรวดเร็ว ส่งผลให้ค่า pH ในน้ำค่อนกริตลดลง ทำให้ passive film ของเหล็กเสริมถูกทำลายและทำให้คลอรอไตร์ดสามารถเข้าไปทำให้เกิดการกัดกร่อนของเหล็ก ทำให้โครงสร้างสะพานมีกำลังลดลง

งานวิจัยนี้จึงมุ่งศึกษาสภาพของโครงสร้างสะพานคอนกรีตในพื้นที่จังหวัดชลบุรี ระยะห้อง และฉะเชิงเทรา ทั้งในด้าน Safety และ Durability ซึ่งเป็นบริเวณที่มีความเสี่ยงสูงต่อการเสื่อมสภาพของคอนกรีตและเหล็กเสริม โดยใช้วิธีเคราะห์ทางคณิตศาสตร์ร่วมกับข้อมูลภาคสนาม เพื่อประเมินระดับความเสี่ยงจากการเสื่อมสภาพและหาแนวทางบำรุงรักษาที่มีประสิทธิภาพช่วยยืดอายุการใช้งาน

สมมติฐานของงานวิจัยนี้

- การเสื่อมสภาพของสะพานเกิดขึ้นบริเวณ Girder ของสะพาน
- เกิดกระบวนการคาร์บอนเนชันก่อนที่คลอรอไตร์ดจะเข้าไปทำให้เกิดสนิมเหล็ก (คลอรอไตร์ดในน้ำค่อนกริตน้อยกว่า 0.05 % โดยน้ำหนักคอนกรีต) อ้างอิง: NRMCA(2020)
- เกิดการกัดกร่อนก่อนที่จะเกิดรอยแตกบนโครงสร้าง

2 ระเบียบวิธีวิจัย

2.1 ทฤษฎีและงานวิจัยที่เกี่ยวข้อง

2.1.1 การเสียสภาพโครงสร้างคอนกรีต

โครงสร้างคอนกรีตสามารถเสื่อมสภาพได้จากหลายปัจจัย เช่น ความล้าของวัสดุ (Fatigue) และการแข็งเย็นแลดูน้ำแข็งช้าๆ (Freezing and Thawing) แต่ปัจจัยที่สำคัญที่สุดคือการกัดกร่อนของเหล็กเสริมซึ่งเป็นส่วนสำคัญในการรับแรงของโครงสร้าง คอนกรีต Tottori (2003) ได้แบ่งการกัดกร่อนของเหล็กเสริมออกเป็น 2 ประเภท ได้แก่ ประเภทที่อยู่ร้าวเกิดก่อนการกัดกร่อน (crack-precedence type) และ ประเภทที่การกัดกร่อนเกิดก่อนร้อยร้าว (rebar corrosion-precedence type) สำหรับประเภทที่การกัดกร่อนเกิดก่อนร้อยร้าวนั้น สามารถแบ่งย่อยเพิ่มเติมได้อีกเป็น การคาร์บอนเนชัน (Carbonation) และ ความเสี่ยหายจากเกลือ (Salt Damage) ซึ่งในงานวิจัยนี้จะสมมติว่าปริมาณคลอรอไตร์ดในคอนกรีตมีค่าต่ำกว่า 0.05 % โดยน้ำหนักของคอนกรีต ซึ่งหมายความว่าจะเกิดกระบวนการคาร์บอนเนชันก่อนที่คลอรอไตร์ดจะเข้าไปทำให้เกิดสนิมเหล็ก ซึ่งเป็นข้อบ่งบอกที่ NRMCA (2020) ได้

กำหนดไว้ ซึ่งหากปริมาณคลอรอไตร์ดเกิน 0.05 % โดยน้ำหนักของคอนกรีต สนิมเหล็กจะเกิดได้โดยที่ قاربบนเนชันยังไม่เข้าไปลดค่า PH ของคอนกรีต

2.1.2 ดัชนีที่ใช้สำหรับการประเมินสภาพคอนกรีต

JSC (2022) ได้เสนอดัชนีที่ใช้สำหรับประเมินสภาพโครงสร้างคอนกรีตที่มีอยู่ หรือ โครงสร้างคอนกรีตที่เพิ่งสร้างเสร็จ หรือ โครงสร้างคอนกรีตที่ได้รับการซ่อมแซมแล้วดังแสดงในสมการที่ (1) และ (2)

$$M_s = \frac{R_D - S_D}{c} \times 100 [\%] \quad (1)$$

โดยที่ M_s คือ Margin ratio for safety (%)

R_D คือ Cross-sectional force (N)

S_D คือ Strength (N)

$$M_d = \frac{T_{Rd} - T_{Sd}}{c} \times 100 [\%] \quad (2)$$

โดยที่ M_d คือ Durability margin (%)

T_{Rd} คือ เวลาเริ่มเกิดการเสื่อมสภาพของวัสดุ (ปี)

T_{Sd} คือ อายุการใช้งานที่คาดหวัง (ปี)

อย่างไรก็ตามดัชนี margin ratio ที่ถูกเสนอโดย (JSCE, 2022) ตามที่ได้กล่าวไปก่อนหน้านี้ ซึ่งสามารถใช้สำหรับโครงสร้างที่ยังไม่ได้เกิดการกัดกร่อนเท่านั้น Mori (2024) จึงได้นำเสนอดัชนี Deviation ratio ดังแสดงในสมการที่ (3) ที่สามารถใช้ในการประเมินสภาพหลังจากที่เกิดการกัดกร่อนไปแล้ว หรือ อยู่ในช่วง progressive period หรือหลังจากนั้น ซึ่งดัชนีนี้จะเป็นฟังก์ชันที่มีความลับพันธ์กับเวลาดังแสดงในรูปที่ 1

$$D_d = \frac{T_{Ni}}{\tau} \times 100 + 100(i-1) \quad (3)$$

โดยที่ D_d คือ Deviation ratio (%)

T_{Ni} คือ ระยะเวลาของเหตุการณ์เสื่อมสภาพในกระบวนการเสื่อมสภาพ ณ เวลาที่ทำการคำนวณ

$$T_{Ni} = t - t_i \quad (4)$$

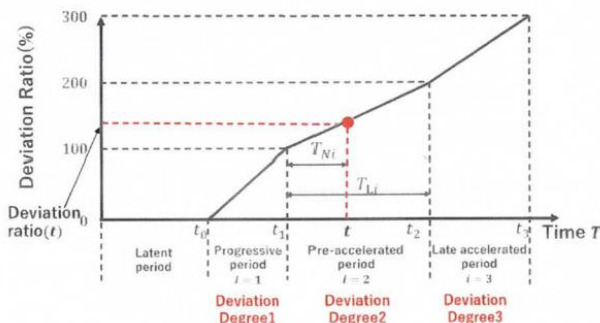
โดยที่ t คือ จำนวนปีที่ใช้งานทั้งหมด

t_i คือ จำนวนปีที่จะใช้จนเกิดการเสื่อมสภาพ

$$T_{Li} = t_{i+1} - t_i \quad (5)$$

โดยที่ t_{i+1} คือ จำนวนปีที่เหลือก่อนจะเสื่อมสภาพในอีกระดับเที่ยงกับระดับปัจจุบัน

T_{Li} คือ จำนวนปีที่ใช้ในการเข้าสู่กระบวนการเสื่อมสภาพ ณ เวลาที่ทำการคำนวณ



รูปที่ 1 กราฟความสัมพันธ์ระหว่าง Deviation ratio กับ เวลา

Mori (2024) ได้แบ่งช่วงของ Deviation ratio ออกเป็น 3 ระดับโดยสื่อถึงความเสียหายที่เกิดกับโครงสร้างคอนกรีต โดย deviation ratio 100%, 200% และ 300% จะเป็นขอบเขตของ deviation degree 1, 2 และ 3 สามารถสื่อถึงสภาพการเสื่อมสภาพของโครงสร้างคอนกรีต ดังแสดงในตารางที่ 1 นอกจากนี้เพื่อจะใช้ deviation ratio ในการประเมินสภาพสะพานในเขต EEC ต้องเลือกใช้สมการที่เหมาะสมในการคาดการณ์อัตราการเกิดการเสื่อมสภาพทั้งในช่วงกระบวนการการเกิดcarbонเนชัน และกระบวนการกัดกร่อนของเหล็กเสริมเหล็กจากที่ Passive film โดยกระบวนการขึ้นเเล้วโดยกระบวนการการรับอนุญาต

Degradation process	Durability Index	Indicator Value	Deviation degree	Degraded condition
Latent period	Margin ratio	-100%	-	Before steel corrosion
	For durability			
Progressive period	Deviation ratio	0%~100%	1	Steel corrosion occurrence
Pre-accelerated period	Deviation ratio	100%~200%	2	Corrosion cracking occurred
Late accelerated period	Deviation ratio	200%~300%	3	Corrosion spalling occurrence

ตารางที่ 1 สภาพของโครงสร้างค่อนกรีตกับ Deviation degree

2.1.3 การทำนายอัตราการเกิดครรภ์บอเนชั่นและขีดจำกัดการเกิด

การนำนายอัตราการเกิดcarbogenชั้นสามารถทำได้โดยการ
คำนึงถึงปัจจัยต่างๆ จากราคาสภาพแวดล้อมภายนอกบริเวณสะพานที่
สนใจ จากการวิจัยที่ผ่านมาได้มีการทำกราฟทดลอง และพัฒนาสมการ
โดยแต่ละสมการจะมีตัวแปรและรูปแบบสมการที่แตกต่างกัน

Architectural Institute of Japan (2016) ได้เสนอสมการ
คาดการณ์อัตราการเกิดคราบอเนชันในมาตรฐาน Durable Design
and Commentary for Reinforced Concrete Buildings ดัง
แสดงในสมการที่

$$X_c = A\sqrt{t} \quad (6)$$

โดยที่ X_c คือ Carbonation depth (mm)

A คือ ค่าล้มปรับสิทธิอัตราการเกิดかるบอนเข้มข้น (mm/ปี)

t คือ จำนวนปีนับจากก่อสร้างเสร็จ

$$A = k \cdot \alpha_1 \cdot \alpha_2 \cdot \alpha_3 \cdot \beta_1 \cdot \beta_2 \cdot \beta_3 \quad (7)$$

โดยที่ k คือ ค่าคงที่ ที่ขึ้นกับอัตราการเกิดคราร์บอนเนชัน,
17.2 สำหรับประเทศไทย ($\text{mm}/\sqrt{\text{ปี}}$)

α_1 คือ ค่าสัมประสิทธิ์ที่ขึ้นกับประเภทของมวลรวมในคอนกรีต, 1.0 สำหรับคอนกรีตธรรมชาติ

α_2 คือ ค่าสัมประสิทธิ์ที่ขึ้นกับประเภทของปูนซีเมนต์, 1.0 สำหรับซีเมนต์ปอร์ตแลนด์ธรรมชาติ

α_3 คือ ค่าสัมประสิทธิ์ที่ขึ้นกับ W/C ratio (W/C-0.38)

β_1 คือ ค่าสัมประสิทธิ์ที่ขึ้นกับอุณหภูมิ, $1.33(0.017T+0.48)$, T คือ อุณหภูมิ(องศาเซลเซียส)

β_2 คือ ค่าคงที่ที่ขึ้นกับความชื้นบริเวณโครงสร้าง
คอนกรีต ดังแสดงในสมการที่ (8)

$$\beta_3 \text{ คือ } \text{ค่าคงที่ที่ขึ้นกับความเข้มข้นของ} \text{CO}_2, \sqrt{CO_2 concentration [\%] / 0.05}$$

$$\beta_2 = k_r \cdot H_u \cdot (100 - H_u) \cdot (140 - H_u) / 192000 \quad (8)$$

โดยที่ k คือ ค่าคงที่ ที่บันทึกอัตราการเกิดครรภ์บนเฉลี่ย,
1.0 สำหรับสภาพแวดล้อมแบบเปี่ยม, 1.6
สำหรับสภาพแวดล้อมแบบแห้ง

H_u คือ ค่าความชื้นสัมพัทธ์ (%)

2.1.4 การทำนายอัตราการกัดกร่อน

Kakegawa et al. (2012,2) ได้พัฒนาสมการคำนวณอัตราการกัดกร่อน ดังแสดงในสมการที่ (9) และ (10) โดยอ้างอิงจากผลการทดลองในคอกอนกริตที่ผ่านการทดสอบสภาพเดลล์อย่างนาน 20 ปี ซึ่งใช้คอกอนกริต 20 ประจek กท. ที่มีอัตราส่วนน้ำต่อชิเมนต์ 4 ระดับ (50%, 55%, 60%, และ 65%) และปริมาณคลอรีนเริ่มต้น 5 ระดับ (0, 0.1, 0.3, 0.5 และ 1%) นอกจากนี้ ยังมีการใช้คอกอนกริตที่มีระยะเวลาหักคอกอนกริตที่แตกต่างกัน(15, 20, 30, และ 40 ม.) ตัวอย่างคอกอนกริตถูกบ่มในอุณหภูมิและความชื้นที่ควบคุม ก่อนเข้าสู่กระบวนการเร่งคาร์บอนเนชันด้วยอุณหภูมิ 30°C ความชื้น 60% และความเย็นขั้นของคาร์บอนไดออกไซด์ 5% โดยทำการทดลองในเมือง Tsukuba ประเทศญี่ปุ่น ซึ่งมีอุณหภูมิเฉลี่ย 13.8°C และความชื้น 55% สำหรับช่วงฤดูหนาว

$$w = q \cdot \sqrt{t} \quad (9)$$

โดยที่ q คือ อัตราการกัดกร่อนเหล็ก ($\text{mg}/\text{cm}^2/\text{ปี}$)
 w คือ ปริมาณสนิมเหล็ก (mg/cm^2)

$$q = \frac{\gamma_1}{\gamma_{\nu_2}} \cdot (W/C - \gamma_3) \quad (10)$$

โดยที่ γ_1 คือ ค่าคงที่

γ_2	คือ ค่าคงที่ที่แสดงถึงการเคลื่อนที่ของสาร เช่น น้ำและอุกซีเจน
γ_3	คือ ค่าคงที่ที่แสดงถึงผลกระทบของ W/C ratio
W/C	คือ Water cement ratio (%)
C	คือ ระยะหักมุมคอนกรีต (มม.)

ค่า $\gamma_1, \gamma_2, \gamma_3$ ขึ้นกับความเข้มข้นของคลอรอไรด์ไอออนดังแสดงในตารางที่ 2

ตารางที่ 2 ค่า $\gamma_1, \gamma_2, \gamma_3$ ที่ขึ้นกับความเข้มข้นของคลอรอไรด์ไอออน

Chloride ion Kg/cm ³	γ_1	γ_2	γ_3
0	23.5	1.9	54.3
0.45 - 0.52	0.583	0.8	18.7
1.36 - 1.55	1.420	0.6	35.7
2.27 - 2.58	1.141	0.2	34.4
4.54 - 4.68	2.155	0	38.8

2.2 เก็บรวบรวมข้อมูลและเตรียมข้อมูล

2.2.1 การรวบรวมข้อมูล

ขอความอนุเคราะห์ข้อมูลหน่วยงานราชการที่เกี่ยวข้อง เช่น กรมทางหลวงหรือองค์กรท้องถิ่น โดยข้อมูลดังกล่าวได้รวมรวมจำนวนสะพาน ชนิด สะพาน ความยาวสะพาน ปีที่สร้างสะพาน รูปแบบการใช้งานและภาระคิดคำนวณของสะพาน

2.2.2 เก็บข้อมูลที่ไม่ได้ระบุ

ใช้ฟังก์ชัน Street View ของ Google Maps ในการดูลักษณะสะพานในเชิงโครงสร้างบางตัวที่ไม่ได้ระบุในข้อมูลที่ได้มา เช่น การดูชนิดของคานสะพานเพื่อระบุประเภทของสะพาน การดูรูปแบบของราวดสะพานเพื่อประมาณอายุของสะพาน หากไม่สามารถเก็บข้อมูลได้เนื่องจากข้อจำกัดมุมมองของ Google Maps ผู้วิจัยต้องลงพื้นที่เก็บข้อมูล



รูปที่ 2 สะพานข้ามแยกนายพาสันสนิคม ทล.361

2.2.3 จัดทำฐานข้อมูลสะพาน

ข้อมูลที่รวบรวมได้จากหน่วยงานราชการ Google Maps และจากการลงพื้นที่ มาจัดเรียงใน Excel เพื่อความสะดวกในการวิเคราะห์ข้อมูลต่อไป

2.3 การประเมินสภาพสะพาน

ดัชนีที่ใช้การวิเคราะห์สภาพสะพานมี 3 ค่าโดยอ้างอิงจากงานวิจัยของ (Mori, 2024) ได้แก่ Margin Ratio for Durability, Margin Ratio for Safety และ Deviation Ratio นำดัชนีดังกล่าวมาพล็อตกราฟแสดงความสัมพันธ์โดย แกน X: Margin Ratio for Durability & Deviation Ratio และ Y: Margin Ratio for Safety

2.3.1 Margin ratio for durability

ใช้ประเมินช่วงที่เกิดการบ่อนชั้นในสะพานคอนกรีต แต่เหล็กเสริมภายในคอนกรีตยังไม่เกิดการกัดกร่อน ซึ่งหมายความต่อการวิเคราะห์สภาพสะพานคอนกรีตที่พึงสร้างเสริมหรือสะพานคอนกรีตที่ได้รับการซ่อมแซมแล้ว โดยค่าดังกล่าวได้จากการได้ดังแสดงในสมการที่ (1) และ (2)

2.3.2 Margin ratio for safety

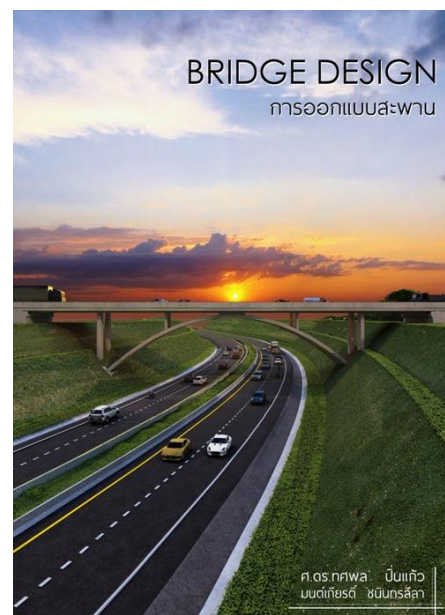
การเปรียบเทียบกำลังของแรงเฉือนและโมเมนต์ระหว่างสภาพการใช้งานจริงและกำลังที่ออกแบบดังแสดงในสมการที่และหากในสภาพการใช้งานจริงข้อมูลไม่ระบุให้ทำการคาดการโดยอ้างอิง มาตรฐาน AASHTO LRFD Bridge Design Specification ค่า กำลังที่ออกแบบวิเคราะห์จากแบบที่ใช้ก่อสร้างของสะพานนั้นๆ หากไม่มีแบบก่อสร้างสะพานจะต้องทำการอ้างอิงหน้าตัดสะพานตามแบบมาตรฐานสำหรับการออกแบบและก่อสร้างทางหลวงซึ่งจากการรวบรวมข้อมูล กรมทางหลวงได้จัดทำมาตรฐานอุกมาธิ์หมวด 3 เล่ม

(a) Standard Drawings for Highway Design and Construction 2015

(b) Standard Drawings for Highway Construction 1994

(c) Standard Drawings for Highway Construction 1991

ทั้งนี้หน้าตัดที่ใช้สำหรับการหากำลังต้องเลือกใช้ตามปีที่ ก่อสร้างที่ตรงกับมาตรฐานเล่มนั้นๆ และค่ากำลังที่ออกแบบวิเคราะห์ คาดการโดยอ้างอิงมาตรฐาน AASHTO LRFD Bridge Design Specification จากรูปที่ 3



รูปที่ 3 การออกแบบสะพาน (BRIDGE DESIGN)

2.3.3 Deviation ratio

ใช้ประเมินสภาพสะพานคอนกรีตที่เกิดกระบวนการคราฟบอเนชั่นถึงระยะที่จะทำให้เกิดการกัดกร่อนของเหล็กเสริมในคอนกรีต โดยแบ่งระดับความเสียหายเป็น 3 ระดับ (Degree) ระดับที่ 1 เหล็กเสริมเริ่มเกิดการกัดกร่อน ระดับที่ 2 เกิดรอยแตกบนผิวคอนกรีต ระดับที่ 3 คอนกรีตจะหักเหเนื่องจากเหล็กเสริม

2.4 การตรวจสอบความแม่นยำของผลการวิเคราะห์

ในการประเมินสภาพโดยใช้ดัชนี Margin Ratio for Durability และ ดัชนี Deviation Ratio จำเป็นอย่างมากที่จะต้องเลือกใช้สมการคาดการณ์ให้เหมาะสม ทั้งอัตราการเกิดคราบบอเนชั่นที่ใช้ในการทำงานปีที่ใช้ในการเกิดคราบบอเนชั่นถึงระยะที่จะทำให้เกิดการกัดกร่อนของเหล็กเสริมซึ่งนำไปใช้ในการหาค่า Margin Ratio for Durability และ อัตราการกัดกร่อนเหล็กเสริมเพื่อจะใช้ทำงานประจำปีที่จะเกิดความเสียหายรูปแบบต่างๆซึ่งนำไปใช้หาค่า Deviation Ratio ซึ่งในโครงการนี้จะทำการเลือกใช้สมการที่เหมาะสมที่สุดหรือการปรับแก้ค่าที่ได้จากการ โดย อ้างอิงตามสภาพสะพานจริงและผลการเจาะเก็บตัวอย่างคอนกรีตจากสะพานเพื่อให้การประเมินแม่นยำและมีประสิทธิภาพมากที่สุด

3 ผลการวิเคราะห์ข้อมูล

จากค่าดัชนี Margin Ratio for Safety, Margin ratio for durability และ ดัชนี Deviation ratio ที่ได้กล่าวไป ซึ่งในบทนี้จะเป็นการนำค่าดัชนีดังกล่าวทั้ง 3 ค่า มาใช้ในการประเมินสภาพสะพานในเขต EEC โดยสรุปจำนวนสะพานและชนิดของสะพานดังตารางที่ 3

ตารางที่ 3 ข้อมูลสะพานในเขต EEC

ข้อมูลสะพานในเขต EEC				
Type	จังหวัด	ชลบุรี	ฉะเชิงเทรา	ระยอง
PC Box Beam		7	24	1
PC I Girder		45	22	14
PC Multi Beam		3	1	-
PC Plank Girder		102	100	72
RC Slab type		120	64	66
รวมสะพานทุกชนิด		642		

3.1 การคำนวณ safety (Margin Ratio for Safety)

จากสมการที่ (1) ที่ได้ เสนอในบทที่แล้ว จากสูตรจะเห็นได้ว่า การคำนวณหาดัชนี Margin Ratio for Safety ต้องทราบค่า M_u , V_u (Ultimate Load) และ M_n , V_n (Nominal capacity) โดย การคำนวณค่าต่างๆในการประเมินสภาพ จะคำนวณจากชิ้นส่วน Girder ของสะพาน

ชิ้นส่วนสะพานสามารถแบ่งออกเป็น 2 ส่วน คือ Substructures และ Superstructures ซึ่ง Girder ถือว่าเป็นชิ้นส่วน Superstructures โดยสาเหตุที่เลือกชิ้นส่วน Superstructures มาใช้ในการประเมินสภาพสะพาน เพราะเป็น

ชิ้นส่วนที่รับน้ำหนักบรรทุกด้วยตรง ซึ่งหากเกิดการเสียหายจะส่งผลต่อความปลอดภัยของสะพานและผู้ใช้

3.1.1 การคำนวณ Ultimate Load (AASHTO LRFD Bridge Design Specification)

(a) การหาค่า Moment และ Shear จาก Dead load ค่า Bending moment จะมีค่าสูงที่สุดบริเวณกึ่งกลางของสะพาน สามารถคำนวณ จากสมการ (11) และ (12) โดยสะพานทั้ง 5 ชนิด RC Slab type, PC Box Beam , PC Plank Girder PC Multi Beam และ PC I Girder ใช้หลักการเดียวกันในการคำนวณ

$$M_{DC} = \frac{W_{DC} \cdot L^2}{\sigma} \quad (11)$$

โดยที่ M_{DC} คือ Bending moment ที่เกิดจาก w_{DC} (kip.ft)

L คือ ความยาว Span (ft²)

w_{DC} คือ Dead load บนโครงสร้างสะพาน(kip/ft)

$$M_{DW} = \frac{W_{DW} \cdot L^2}{\sigma} \quad (12)$$

โดยที่ M_{DW} คือ Bending moment ที่เกิดจาก w_{DW} (kip.ft)

w_{DW} คือ Dead load นอกจากโครงสร้างสะพาน เช่น ผิวจราจร (kip/ft)

shear force จะมีค่ามากที่สุดบริเวณปลายของสะพาน โดยสามารถหาค่าดังกล่าวได้ดังแสดงในสมการที่ (13) และ (14)

$$V_{DC} = \frac{W_{DC} \cdot L}{\sigma} \quad (13)$$

โดยที่ V_{DC} คือ Shear force ที่เกิดจาก w_{DC} (kip)

$$V_{DW} = \frac{W_{DW} \cdot L}{\sigma} \quad (14)$$

โดยที่ V_{DW} คือ Shear force ที่เกิดจาก w_{DW} (kip)

(b) การหาค่า Moment และ Shear จาก Live load ชนิด RC Slab type พิจารณา น้ำหนักบรรทุก Lane loads , Tandem loads , Truck loads

$$M_{lane} = \frac{W_{lane} \cdot L^2}{\sigma} \quad (15)$$

โดยที่ M_{lane} คือ Bending moment ที่เกิดจาก Lane loads (kip.ft)

L คือ ความยาว Span (ft)

$$M_{truck} = 18L - 280 + \frac{392}{l} \quad (16)$$

โดยที่ M_{truck} คือ Bending moment ที่เกิดจาก Truck loads (kip.ft)

$$M_{tandem} = 12.5L - 50 + \frac{50}{I} \quad (17)$$

โดยที่ M_{tandem} คือ Bending moment ที่เกิดจาก Tandem loads (kip.ft)

$$V_{lane} = \frac{W_{lane} \cdot L}{2} \quad (18)$$

โดยที่ V_{lane} คือ Shear force ที่เกิดจาก Lane loads (kip)

$$V_{truck} = \frac{\gamma Z}{I} (L - x - 9.33) \quad (19)$$

โดยที่ V_{truck} คือ Shear force ที่เกิดจาก Truck loads (kip)

x คือ Verification (ft)

$$V_{tandem} = \frac{25(2L - x)}{I} \quad (20)$$

โดยที่ V_{tandem} คือ Shear force ที่เกิดจาก Tandem loads (kip)

ค่าที่ได้จากการที่ได้ก้าล่าวไปก่อนหน้านี้เป็นค่า Live load ต่อ 1 ช่องทางจราจรซึ่งในมาตรฐานของ AASHTO ได้กำหนดตัวแปรที่ใช้สำหรับการแปลง Live load เป็นหน่วย ต่อ 1 พุต ดังแสดงในสมการที่ (21) และ (22)

$$E_{1design\ lane} = 250 + 0.42\sqrt{L_1 W_1} \quad (21)$$

$$E_{1+design\ lane} = 2100 + 0.12\sqrt{L_1 W_1} \leq \frac{W}{N} \quad (22)$$

โดยที่ E คือ Equivalent width (mm)
 L_1 คือ ช่วงความยาวของสะพานหรือ 18,000 mm แล้วแต่กว่าค่าใดมีค่าน้อยกว่า (mm)

W_1 คือ ความกว้างสะพานหรือ 18,000 mm (มากกว่า 1 lane), 9,000 mm (1 lane) แล้วแต่ข้อจำกัดใดมีค่าน้อยกว่า (mm)

N คือ ความกว้างสะพาน (mm)
 N_L คือ จำนวนช่องทางเดินรถบนสะพาน

$$M_{LL} = \frac{M_{lane} + max(M_{truck}, M_{tandem})}{I} \quad (23)$$

$$V_{LL} = \frac{V_{lane} + max(V_{truck}, V_{tandem})}{I} \quad (24)$$

โดยที่ M_{LL} คือ Bending moment ที่เกิดจาก Live load ต่อ 1 ft (kip.ft)

V_{LL} คือ Shear force ที่เกิดจาก Live load ต่อ 1 ft (kip.ft)

ชนิด PC Box Beam, PC Plank Girder PC Multi Beam และ PC I girder

$$g_{m1} = k \left(\frac{b}{22.27} \right)^{\gamma} \left(\frac{I}{I} \right)^{\gamma} \quad (25)$$

$$g_{m2} = k \left(\frac{b}{20.5} \right)^{\gamma} \left(\frac{b}{12.7} \right)^{\gamma} \left(\frac{I}{I} \right)^{\gamma} \quad (26)$$

โดยที่ g_{m1} คือ ค่าสัมประสิทธิ์การกระจายของโหลด เมื่อมีช่องจราจรเพียงหนึ่งช่อง
 g_{m2} คือ ค่าสัมประสิทธิ์การกระจายของโหลด เมื่อมีช่องจราจรสองช่องหรือมากกว่า
 k คือ ค่าสัมประสิทธิ์ที่ใช้ในการคำนวนค่า สัมประสิทธิ์การกระจายของโหลดของคาน

$$k = 2.5(N_b)^{-0.2} \geq 1.5 \quad (27)$$

โดยที่ N_b คือ จำนวนของคาน

b คือ ความกว้างของคาน

I คือ Moment of inertia (in^4)

J คือ Torsional inertia coefficient (in^4)

$$g_{v1} = \left(\frac{b}{12.7} \right)^{\gamma} \left(\frac{I}{I} \right)^{\gamma} \quad (28)$$

$$g_{v2} = \left(\frac{b}{15.2} \right)^{\gamma} \left(\frac{b}{12.7} \right)^{\gamma} \left(\frac{I}{I} \right)^{\gamma} \left(\frac{b}{10} \right)^{\gamma} \quad (29)$$

โดยที่ g_{v1} คือ ค่าสัมประสิทธิ์การกระจายของโหลด เมื่อมีช่องจราจรเพียงหนึ่งช่อง
 g_{v2} คือ ค่าสัมประสิทธิ์การกระจายของโหลด เมื่อมีช่องจราจรสองช่องหรือมากกว่า

$$M_{LL} = M_{lane} + max(g_{m1}, g_{m2}) \\ \cdot max(M_{truck}, M_{tandem}) \quad (30)$$

$$V_{LL} = V_{lane} + max(g_{v1}, g_{v2}) \\ \cdot max(V_{truck}, V_{tandem}) \quad (31)$$

(c) รวม Loads ทั้งหมดที่กระทำบนโครงสร้างคานของสะพาน

$$M_u = M_{DC} + M_{DW} + M_{LL} \quad (32)$$

$$V_u = V_{DC} + V_{DW} + V_{LL} \quad (33)$$

3.1.2 การคำนวน capacity ของสะพาน

ชนิด RC Slab type

$$M_n = A_s f_s (d_s - \frac{c\beta_1}{2}) - A'_s f'_s (d'_s - \frac{c\beta_1}{2}) \quad (34)$$

โดยที่	M_n	คือ กำลังตัด (kip.in)
	d_s	คือ ระยะจากขอบการบีบอัดถึงเหล็กเสริม
		แรงดึง (in)
	d'_s	คือ ระยะจากขอบการบีบอัดถึงเหล็กเสริมแรงดัน (in)
	c	คือ ระยะจากขอบเขตการบีบอัดถึงแกนกลาง (in)
	A_s	คือ พื้นที่หน้าตัดของเหล็กเสริมแรงดึง (in^2)
	f_s	คือ กำลังรับแรงดึงของเหล็กเสริมแรงดึง (ksi)
	b	คือ ความกว้างของหน้าตัด (in)

ชิ้นส่วน PC Box Beam, PC Plank Girder PC Multi Beam และ PC I girder

$$M_n = A_{ps}f_{ps} \left(d_p - \frac{c\beta_1}{2} \right) + A_s f_s \left(d_s - \frac{c\beta_1}{2} \right) - A'_s f'_s \left(d'_s - \frac{c\beta_1}{2} \right) \quad (35)$$

$$V_n = V_c + V_s + V_p \quad (36)$$

โดยที่	V_n	คือ กำลังรับแรงเฉือนรวม (kip)
	V_c	คือ กำลังรับแรงเฉือนของคอนกรีต (kip)
	V_s	คือ กำลังรับแรงเฉือนของเหล็กเสริมแรง เฉือน (kip)
	V_p	คือ กำลังรับแรงเฉือนที่เกิดจากแรงล่วง หน้าในทิศทางแรงเฉือน (kip)

$$V_c = 0.0316 \beta \lambda \sqrt{f'_c} b_v d_v \quad (37)$$

$$V_s = \frac{A_v f_y d_v (\cot\theta + \cot\alpha) \sin\alpha}{s} \lambda_{duct} \quad (38)$$

โดยที่	β	คือ สัมประสิทธิ์สำหรับแรงเร่งเฉือนและแรงดึง ที่ส่งผ่านในคอนกรีตที่ได้ครัววนาเวนวย
	λ	คือ สัมประสิทธิ์ของวัสดุ (โดยทั่วไปใช้ค่า 1.0)
	b_v	คือ ความกว้างที่มีผล (in)
	d_v	คือ ความสูงที่มีผลของแรงเฉือน (in)
	A_v	คือ พื้นที่หน้าตัดของเหล็กเสริมแรงเฉือน (in ²)
	f_y	คือ กำลังยืดตัวของเหล็กเสริมแรงเฉือน (ksi)
	θ	คือ มุมการดึงของคอนกรีต (rad)
	α	คือ มุมของครัววนาเวนวย(rad)
	s	คือ ระยะห่างระหว่างเหล็กเสริมแรงเฉือน(in)
	λ_{duct}	คือ ตัวลดแรงเนื่องจากแรงล่วงหน้า (ใน กรณีใช้ค่า 1 เนื่องจากจะพานถูกออกแนว แบบแรงล่วงหน้า)

3.1.3 คำนวณหาอัตราความปลอดภัย

อัตราส่วนความปลดภัยหายจากเร่งภาตตัดบวมและความแข็งแรงของโครงสร้างที่คำนวณ จากสมการที่ (39) และ (40) อัตราส่วนความปลดภัยสำหรับโมเมนต์ตัดคำนวณได้ดังนี้

$$M_s = \frac{M_n - M_u}{v} \times 100 \quad (39)$$

$$M_s = \frac{V_n - V_u}{V} \times 100 \quad (40)$$

ค่าที่น้อยที่สุดที่ได้จากสมการดังกล่าวจะถูกนำมาใช้ ดังแสดงในสมการ (39) และ (40)

3.2 การคำนวณหาค่า Margin ratio for durability

จากที่ได้กล่าวไปก่อนหน้านี้ ดังนี้ Margin Ratio for Durability จะถูกใช้สำหรับสะพานที่ยังไม่ถึงขีดจำกัดของกาเริด Carbonation (10 mm) โดยจะสามารถทราบว่าสะพานตัวใดๆ ว่า ถึงขีดจำกัดหรือไม่ได้โดยเทียบกับจำนวนปีที่จะ Carbonation ถึงขีดจำกัดซึ่งได้จากการสมการที่ (6) และ (7) ประเภทของค่า สัมประสิทธิ์ต่างๆ ถูกกำหนดโดยสภาพแวดล้อมภายในพื้นที่เขต EEC ดังตารางที่ 4

ตารางที่ 4 ค่าสัมประสิทธิ์ที่กำหนดสำหรับสมการที่ (7)

ชนิดค่าสัมประสิทธิ์	ค่าสัมประสิทธิ์	หน่วย
k , ค่าคงที่ที่ขึ้นกับอัตราการเกิดкарบอนเนชัน	17.2	$\text{mm}/\sqrt{\text{ปี}}$
α_1 , ค่าสัมประสิทธิ์ที่ขึ้นกับประเภทของมวลรวมในคอนกรีต	1.0	-
α_2 , ค่าสัมประสิทธิ์ที่ขึ้นกับประเภทของปูนซีเมนต์	1.0	-
อุณหภูมิเฉลี่ย 30 ปี	28	องศาเซลเซียส
k_p , ค่าคงที่ที่ขึ้นกับอัตราการเกิดかる์บอนเนชัน (Wet environments)	1.0	-
H_u , ค่าความชื้นสัมพัทธ์	80	%
CO_2 Concentration	0.11	%

หลังจากนั้นทำการคำนวณเพื่อหาจำนวนปีที่จะ Carbonation ถึงขีดจำกัด และนำไปคิดหาค่า Margin ratio for durability ดังแสดงในสมการที่ (2)

3.3 การคำนวณหาค่า ดัชนี Deviation ratio

คำนวณ Deviation ratio ในสมการของ Yokozeki เพื่อหาปริมาณการกัดกร่อนของเหล็กเสริมที่เริ่มส่งผลให้เกิดรอยแตก

$$W_{cr} = 10 \left(\frac{c}{\sigma} \right) \quad (41)$$

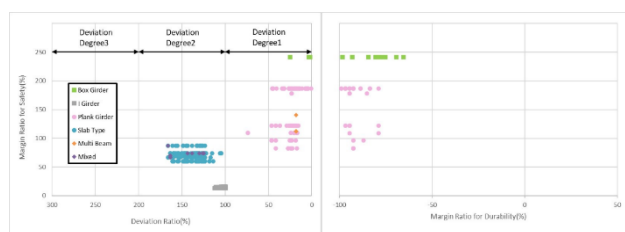
$$q = \frac{\gamma_1}{C\gamma_2} \cdot (W_C - \gamma_3) \quad (42)$$

ทำการคำนวณหา ระยะเวลา ก่อนที่จะเกิดรอยแตกบนคอนกรีต เพื่อที่จะนำค่าที่คิดได้ไปคำนวณหาดัชนี Deviation ratio ในสมการที่ (3)

3.4 นำดัชนีมาใช้ในการประเมินสภาพสะพานในเขต EEC

จากค่าดัชนี Margin Ratio for Durability และ Deviation ratio ที่ได้สามารถนำมา plot เพื่อจะได้ทราบว่าสะพานแต่ละตัวในเขต EEC อยู่ใน Deviation degree ไหน ตั้งแต่ 1 ถึง 3 ตามที่ (Mori, 2024) ได้จำแนกเอาไว้ ดังแสดงในรูปที่ 1

นำค่าดัชนีของสะพานทุกตัวในเขต EEC มา plot จะสามารถเห็นการกระจายตัวของสภาพสะพานทั้งหมด โดยผู้ที่ออกแบบจะเป็นสะพานที่ยังไม่มีการกัดกร่อนขึ้นบนเนื้อเหล็กเสริม ล้วนทางชัยจะเป็นสะพานที่เริ่มมีการกัดกร่อนของเหล็กเสริมและส่งผลต่อโครงสร้างคอนกรีตในระดับต่างๆ กัน ดังแสดงในรูปที่ 4



รูปที่ 4 ความสัมพันธ์ Margin Ratio for Safety & Deviation Ratio

3.5 เปรียบเทียบผลการประเมินกับสะพานจริง

จากสมการของ (Architectural Institute of Japan, 2016) ที่ใช้คำนวณอัตราการเกิดคราบอนเคนชั่นในโครงสร้างคอนกรีต และทำนายจำนวนปีที่กระบวนการคราบอนเคนชั่นเริ่มส่งผลให้เหล็กเกิดสนิม เพื่อความแม่นยำในการประเมินสภาพสะพานโดยใช้สมการจึงจำเป็นต้องทำการสอบเทียบสมการกับค่า ความลึกคราบอนเคนชั่นที่เกิดขึ้นกับสะพานจริง ซึ่งทำได้โดยการเจาะกัดตัวอย่าง และนำไปฉีดพนสารละลาย Phenolphthalein (1%) โดยส่วนที่ยังไม่เกิดคราบอนเคนชั่นบนแท่งตัวอย่างซึ่งจะมีความเป็นเบส สารละลายจะเปลี่ยนสีเป็นสีชมพู ($\text{PH} > 9$) ในทางกลับกันหากส่วนใดของแท่งตัวอย่างเกิดคราบอนเคนชั่นไปแล้วจะถูกทำให้มีความเป็นกลาง (Passive film ได้ถูกทำลายไปแล้ว) สารละลายจะไม่เปลี่ยนสี (สีใส)



รูปที่ 5 การทดสอบหา Carbonation depth โดยใช้สารละลาย Phenolphthalein(1%) สะพานข้ามแยกพานบ้านบึง (LT)

จากการตรวจสอบสภาพในโครงการตรวจสอบและประเมินสภาพสะพานบนโครงข่ายทางหลวงเพื่อเพิ่มศักยภาพในการบริหารงานบำรุงรักษาสะพาน ซึ่งได้ทำการเจาะกัดตัวอย่างคอนกรีตจากสะพานในประเทศไทย ซึ่งมีทั้งหมด 5 ตัว ดังแสดงในตารางที่ 5

ตารางที่ 5 ค่า Carbonation depth ที่ได้จากการเจาะกับสะพานจริง

รหัสสะพาน	ที่อสังหาริมทรัพย์	อายุ	ลักษณะ Carbonation (mm/in)	ค่าจากสมการ(cm)	ค่าจากตัวอย่าง(cm)	ผลต่าง(cm)
144220093	สะพานข้ามแยกน้ำพานบึง(LT)	29	7.5	4.04	3.50	0.54
134130166	สะพานคลองไฟฟ้า	42	7.5	4.86	4.00	0.86
076210127	สะพานบัวกลางคลอง	21	7.5	3.44	3.00	0.44
015270022	สะพานข้ามแม่น้ำป่าสัก	82	9.5	8.60	4.50	4.1
163250117	สะพานอุดมภูมิ 2(LT)	22	7.5	3.52	6.00	-2.48

3.6 สรุปผลการศึกษา

จากการประเมินสภาพสะพานในเขตพื้นที่เศรษฐกิจพิเศษภาคตะวันออก (EEC) จำนวน 642 ตัว โดยใช้ดัชนี Margin ratio และ Deviation ratio เป็นการประเมินทั้งในด้าน Safety และ Durability ของสะพานซึ่งมุ่งเน้นไปที่ความเสียหายที่เกิดจากกระบวนการการคราบอนเคนชั่น

ดัชนี Deviation ratio ได้ถูกนำมาประเมินสภาพสะพานที่เกิดสนิมเหล็กไปแล้วโดยได้แบ่งความเสียหายที่เกิดขึ้นกับโครงสร้างออกเป็น 3 ระดับตามโมเดลของ (Mori, 2024) ซึ่งจากการนำไปใช้ประเมินสะพานในเขตพื้นที่เศรษฐกิจพิเศษภาคตะวันออก EEC พบว่ามีสะพานจำนวน 557 แห่ง ที่การกัดกร่อนของเหล็กได้เริ่มขึ้นแล้ว ซึ่งในจำนวนนี้มีสะพาน 337 แห่ง ที่อยู่ในระดับ 2 ซึ่งเป็นระดับที่คอนกรีตมีรอยแตกแล้ว โดยจะส่งผลต่ออัตราการกัดกร่อนเหล็กในอนาคตให้ไวขึ้นและส่งผลให้รอยแตกขยายเร็วขึ้นในอนาคตดังนั้นจึงควรติดตามสภาพสะพานอยู่เป็นระยะและบำรุงรักษาเพื่อไม่ให้เกิดความเสียหายจนไปกระทบกับการรับแรงของสะพาน เช่น คอนกรีตจะหักออกส่งผลให้หน้าตัดคอนกรีตลดลงโดยการนำค่าที่ได้จากสมการมาพลอตลงแผนที่จะสามารถเห็นการกระจายตัวของสะพานและความเสียหายที่เกิดขึ้นได้ โดยสะพานประเภท Slab type มีความเสียหายสูงที่สุดเมื่อเทียบกับประเภทอื่นๆ

จากการลงพื้นที่สำรวจสภาพสะพานในสายทาง ทล.361 พบว่า มีสะพานที่มีความเสียหายมากกว่าที่คำนวณไว้โดยใช้สมการอย่างมีนัยสำคัญ ได้แก่ สะพานข้ามแยกพานบ้านบึง(LT) พบว่าคอนกรีตมีความเสียหายมากกว่าที่คาดการณ์ไว้ เนื่องจากเหล็กเป็นสนิม แต่ผลที่ได้จากการพบว่าสะพานดังกล่าวอยู่ใน Deviation degree 2 ซึ่งเป็นระดับที่สะพานมีรอยแตกเท่านั้น อย่างไรก็ตามพบว่าคอนกรีตในส่วนอื่นยังไม่ได้มีความเสียหายที่เกิดขึ้นได้ โดยสะพานประเภท Slab type มีความเสียหายสูงที่สุดเมื่อเทียบกับประเภทอื่นๆ

จากการเทียบค่า Carbonation depth ของสะพานจริงที่ได้จากการเจาะกัดตัวอย่าง กับค่าที่ได้จากการพบว่ามีสะพาน 3 แห่ง ที่มีความคลาดเคลื่อนน้อยกว่า 1 cm และอีก 2 แห่ง มีความคลาดเคลื่อนสูง



รูปที่ 6 แผนที่ความเสียหายของสะพานในเขต EEC ของกรมทางหลวง

3.7 ข้อเสนอแนะ

เพื่อให้งานวิจัยนี้สามารถพัฒนาและต่อยอดได้อย่างสมบูรณ์มาก ยิ่งขึ้นผู้วิจัยขอเสนอแนวทางการปรับปรุงและขยายองค์ความรู้ในด้านต่าง ๆ ดังต่อไปนี้

งานวิจัยสามารถพัฒนาให้มีความละเอียดในเชิงกายภาพมากขึ้น โดยการเก็บข้อมูลจากการเจาะตัวอย่างคอนกรีตในภาคสนาม รวมถึง การทดสอบความลึกของเครื่องบอร์นเนชันหรือการวัดค่าคลอไรด์ในเนื้อ คอนกรีตจริง เพื่อยืนยันความถูกต้องของสมการที่ใช้ในขณะเดียวกัน แบบจำลองคณิตศาสตร์ที่ใช้อาจมีข้อจำกัด เนื่องจากอ้างอิง ค่าพารามิเตอร์จากต่างประเทศ จึงควรมีการปรับค่าหรือพัฒนา แบบจำลองใหม่โดยใช้ข้อมูลจากการทดลองภายใต้ประเทศไทยเพื่อเพิ่ม ความแม่นยำในการประเมินและรองรับการใช้งานในเชิงปฏิบัติได้ดี ยิ่งขึ้น

3.8 กิตติกรรมประกาศ

การจัดทำปริญญาบัณฑิตเล่มนี้ในระดับบัณฑิตศึกษาสำเร็จ ลุล่วงด้วยดี เนื่องจากได้รับความกรุณาจาก รศ.ดร. วิทิต ปานสุข อาจารย์ที่ปรึกษาปริญญาบัณฑิตที่มีความกรุณาให้คำแนะนำ คำปรึกษาและอำนวยความสะดวกตลอดจนปรับปรุงแก้ไขปริญญา บัณฑิต ตลอดระยะเวลาที่ดำเนินการจัดทำปริญญาบัณฑิตจนเสร็จ สมบูรณ์

ขอขอบคุณกรมทางหลวงที่ให้ความอนุเคราะห์ข้อมูลเกี่ยวกับ สะพานในเขต EEC และอำนวยความสะดวกในการลงพื้นที่ทั้งงาน และนายบันทวน พุกธิรัตน์ ผู้อำนวยการตรวจสอบและวิเคราะห์ทาง วิศวกรรม ที่ให้ความช่วยเหลือในการผ่านงานกับกรมทางหลวงและ ให้คำแนะนำแนวทางในการวิเคราะห์ข้อมูลสะพาน

เอกสารอ้างอิง

- [1] American Association of State Highway and Transportation Officials. (2007). *AASHTO LRFD Bridge Design Specifications* (4th ed.). American Association of State Highway and Transportation Officials.
- [2] Architectural Institute of Japan. (2016) *Durable Design and Construction Guidelines and Commentary for Reinforced Concrete Buildings*. In: Architectural Institute of Japan.
- [3] Department of Highways. (1991). *Standard Drawings for Highway Design and Construction*. In. Bangkok, Thailand: Ministry of Transport, Kingdom of Thailand.
- [4] Iijima, T., Kudo, T., & Tamai, Y. (n.d.). Effect of Temperature on Corrosion Rate of Steel. JSCE. (2022). *Standard Specification for Concrete [Design]*. In.
- [5] Kakegawa, M., Masuda, Y., Matsubayashi, Y., & Kage, T. (2012.2). Long-term outdoor exposure experiment on the effects of various factors on corrosion rate of steel bars in concrete. p.143-151.
- [6] Kakegawa, M., Masuda, Y., Matsubayashi, Y., & Kage, T. (2012.12). Corrosion Acceleration Experiment on Effect of Temperature and Carbonation on Corrosion Rate of Steel Bars in Concrete. No.68.
- [7] Michel, A., Otieno, M., Stang, H., & Geiker, M. R. (2016). Propagation of steel corrosion in concrete: Experimental and numerical investigations. *Cement and Concrete Composites*, 70, 171-182.
- [8] Mori, K. (2024). *Development of performance Assessment Method for Concrete* (Publication Number 1X20D074) Waseda]. Tokyo.
- [9] NRMCA. (2020). *TIP 13 – Chloride limits in concrete* (Technology in Practice Series, Issue. NRMCA. <https://www.nrmca.org/wpcontent/uploads/2020/04/Tip13w.pdf>
- [10] Tottori, S. (2003). *Prediction of Deterioration of Concrete Structures Based on Exposure Tests on Corrosion of Steel Bars* Kyoto University].
- [11] Yokozeki, O., Motohashi, Tsutsumi. (1997). *A Rational Model to Predict Service Life of RC Structures in Marine Environment* Forth CANMET/ACI International Conference on Durability of Concrete
- [12] กรมอุตุนิยมวิทยา. (2568). *สถิติภูมิอากาศ 30 ปีของภาคตะวันออก* (พ.ศ. 2534–2563). Retrieved 26/02/2568 from <http://climate.tmd.go.th/statistic/stat30y>
- [13] สถาบันวิจัยและให้คำปรึกษาแห่งมหาวิทยาลัยธรรมศาสตร์. (2567). *โครงการตรวจสอบและประเมินสภาพสะพานบนโครงข่ายทางหลวง เพื่อเพิ่มศักยภาพในการบริหารงานบำรุงรักษาสะพาน*.
- [14] ปั้นแก้ว, ท., & ชนินทร์ลีลา, ม. (2560). *การออกแบบสะพาน = Bridge Design* (พิมพ์ครั้งที่ 2, ฉบับปรับปรุง ed.). บริษัท เอ็นจีเนียริ่ง เอ็กซ์เพรส ອินเตอร์เนชันแนล จำกัด.